

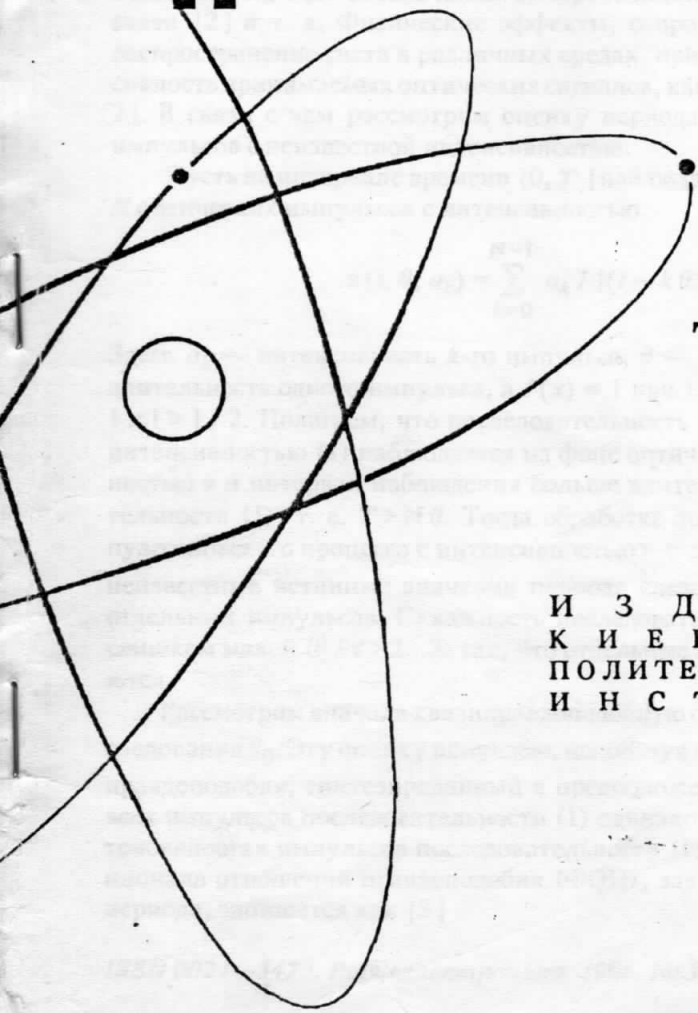
Р-6264/  
154 996/39/3-4

ISSN 0021-3470

62

ИЗВЕСТИЯ  
ВЫСШИХ УЧЕБНЫХ  
ЗАВЕДЕНИЙ

# РАДИОЭЛЕКТРОНИКА



ТОМ 39

3-4

ИЗДАНИЕ  
КИЕВСКОГО  
ПОЛИТЕХНИЧЕСКОГО  
ИНСТИТУТА

1996

## ОЦЕНКА ПЕРИОДА СЛЕДОВАНИЯ ОПТИЧЕСКИХ ИМПУЛЬСОВ С НЕИЗВЕСТНОЙ ИНТЕНСИВНОСТЬЮ

Методом локально-марковской аппроксимации получены характеристики оценок периода следования оптических импульсов с прямоугольной формой интенсивности. Определены потери в точности оценки из-за незнания величины интенсивности импульсов.

В системах оптической связи и локации широко применяются последовательности оптических импульсов [1, 2]. Необходимость в оценке их периода следования возникает при измерении скорости цели в оптической локации [1], при обеспечении синхронизации в подвижных системах связи [2] и т. д. Физические эффекты, сопровождающие рассеяние и распространение света в различных средах, приводят к тому, что интенсивность принимаемых оптических сигналов, как правило, неизвестна [1, 2]. В связи с чем рассмотрим оценку периода следования оптических импульсов с неизвестной интенсивностью.

Пусть на интервале времени  $[0, T]$  наблюдается последовательность  $N$  оптических импульсов с интенсивностью

$$s(t, \theta, a_k) = \sum_{k=0}^{N-1} a_k I[(t - k\theta) / \tau]. \quad (1)$$

Здесь  $a_k$  — интенсивность  $k$ -го импульса,  $\theta$  — период следования,  $\tau$  — длительность одного импульса, а  $I(x) = 1$  при  $|x| < 1/2$  и  $I(x) = 0$  при  $|x| > 1/2$ . Полагаем, что последовательность оптических импульсов с интенсивностью (1) наблюдается на фоне оптического шума с интенсивностью  $\nu$  и интервал наблюдения больше длительности всей последовательности (1), т. е.  $T > N\theta$ . Тогда обработке доступна реализация  $\pi(t)$  пуассоновского процесса с интенсивностью  $\nu + s(t, \theta_0, a_{0k})$ , где  $\theta_0, a_{0k}$  — неизвестные истинные значения периода следования и интенсивности отдельных импульсов. Скважность последовательности (1) считаем не слишком малой ( $\theta / \tau > 2 \dots 3$ ) так, что отдельные импульсы не перекрываются.

Рассмотрим вначале квазиравдоподобную оценку (КПО)  $\hat{\theta}_q$  периода следования  $\theta_0$ . Эту оценку получаем, используя алгоритм максимального правдоподобия, синтезированный в предположении, что интенсивности всех импульсов последовательности (1) одинаковы. При одинаковых интенсивностях импульсов последовательности (1) член логарифма функционала отношения правдоподобия (ФОР), зависящий от неизвестного периода, запишется как [3]

$$L_q = \sum_{k=0}^{N-1} \int_{k\theta - \tau/2}^{k\theta + \tau/2} d\pi(t) = \sum_{k=0}^{N-1} \pi_k(\theta). \quad (2)$$

В результате КПО  $\hat{\theta}_q$  периода следования импульсов  $\theta_0$  представляет собой положение абсолютного (наибольшего) максимума функции (2)

$$\hat{\theta}_q \overline{\arg \sup} L_q(\theta). \quad (3)$$

Для определения характеристик КПО (3) представим слагаемые суммы (2) в виде

$$\pi_k(\theta) = \mu + \mu q_k S_k(\theta, \theta_0) + N_k(\theta) \sqrt{\mu}, \quad (4)$$

где  $\mu = \nu \tau$ ,  $q_k = a_{0k} / \nu$ ,

$$S_k(\theta, \theta_0) = \max [1 - |\theta - \theta_0| k / \tau, 0], \quad (5)$$

а  $N_k(\theta) = [\pi_k(\theta) - M \{\pi_k(\theta)\}] / \sqrt{\mu}$  — нормированная шумовая функция для одного импульса, причем

$$\begin{aligned} M \{N_k(\theta)\} &= 0, B_k(\theta_1, \theta_2) = M \{N_k(\theta_1) N_k(\theta_2)\} = \\ &= S_k(\theta_1, \theta_2) + q_k I [k(\theta_1 - \theta_0) / \tau] I [k(\theta_2 - \theta_0) / \tau] \times \\ &\times I [k(\theta_1 - \theta_2) / \tau] \{1 - [\max(\theta_0, \theta_1, \theta_2) - \min(\theta_0, \theta_1, \theta_2)] k / \tau\}. \end{aligned} \quad (6)$$

Используя представление (4), перепишем (2) в виде суммы сигнальной и шумовой функций [4]

$$L_q(\theta) = S_q(\theta) + N_q(\theta) + N\mu, \quad (7)$$

$$S_q(\theta) = M \{L_q(\theta)\} - N\mu = \mu \sum_{k=0}^{N-1} q_k S_k(\theta, \theta_0), \quad (8)$$

$$N_q(\theta) = L_q(\theta) - M \{L_q(\theta)\} = \sum_{k=0}^{N-1} N_k(\theta) \sqrt{\mu}. \quad (9)$$

Шумовая функция (9) является реализацией случайного процесса, первые два момента которого определяются выражениями

$$\begin{aligned} M \{N_q(\theta)\} &= 0, B_q(\theta_1, \theta_2) = M \{N_q(\theta_1) N_q(\theta_2)\} = \\ &= \mu \sum_{k=0}^{N-1} B_k(\theta_1, \theta_2). \end{aligned} \quad (10)$$

Согласно (5), (8) сигнальная функция в (7) достигает максимума при  $\theta = \theta_0$ . Следовательно, выходное отношение сигнал—шум (ОСШ) для квазиравдоподобного приемника можем записать как [4]

$$z_q^2 = S_q^2(\theta_0) / B_q(\theta_0, \theta_0) = \mu \left( \sum_{k=0}^{N-1} q_k^2 \right)^2 / \left( N + \sum_{k=0}^{N-1} q_k \right). \quad (11)$$

В дальнейшем полагаем, что ОСШ (11) достаточно велико, так что КПО (3) обладает высокой апостериорной точностью [4]. Тогда для определения характеристик КПО достаточно исследовать центральные пики функций (8) и (10). Если

$$\Delta = \max \{ |\theta - \theta_0|, |\theta_1 - \theta_0|, |\theta_2 - \theta_0|, |\theta_1 - \theta_2| \} < \tau / (N - 1), \quad (12)$$

то выражение для сигнальной функции (8) и корреляционной функции (10) принимают вид

$$S_q(\theta) = A_S - B_S |\theta - \theta_0|, \quad (13)$$

$$B_q(\theta_1, \theta_2) = A_N - B_N |\theta_1 - \theta_2| - C_N [\max(\theta_0, \theta_1, \theta_2) - \min(\theta_0, \theta_1, \theta_2)]. \quad (14)$$

Здесь

$$A_S = \mu \sum_{k=0}^{N-1} q_k, \quad B_S = \nu \sum_{k=0}^{N-1} k q_k, \quad A_N = \mu \sum_{k=0}^{N-1} (1 + q_k),$$

$$B_N = \nu \sum_{k=0}^{N-1} k = \nu N(N-1)/2, \quad C_N = \nu \sum_{k=0}^{N-1} k q_k. \quad (15)$$

Согласно (13), (14) у сигнальной и корреляционной функций не существует второй производной по оцениваемому параметру при  $\theta = \theta_0 = \theta_1 = \theta_2$ . Следовательно, сигнал с интенсивностью (1) является разрывным по параметру  $\theta$ . Найти дисперсию КПО (3) периода следования в этом случае можно с помощью метода локально-марковской аппроксимации [5]

$$D(\theta) = 13(2B_N + C_N)^2 / 8B_S^4. \quad (16)$$

Подставляя в (16) значения коэффициентов (15), получаем дисперсию КПО (3)

$$D_q(\theta) = M \{ (\hat{\theta}_q - \theta_0)^2 \} = 26 \left[ \sum_{k=0}^{N-1} k(2 + q_k) \right]^2 \left[ 2 \sum_{k=0}^{N-1} k q_k \sqrt{\nu} \right]^{-4}. \quad (17)$$

Чтобы определить потери в точности КПО (3) периода следования оптических импульсов из-за незнания их интенсивности, найдем дисперсию оценки максимального правдоподобия (ОМП) периода следования при априори известных интенсивностях импульсов. С этой целью запишем логарифм ФОП для всех неизвестных параметров последовательности оптических импульсов с интенсивностью (1). Согласно [3] логарифм ФОП

$$L(\theta, a_k) = \sum_{k=0}^{N-1} \ln(1 + a_k / \nu) \pi_k(\theta) - \tau \sum_{k=0}^{N-1} a_k. \quad (18)$$

Полагая здесь  $a_k = a_{0k}$ , для ОМП периода следования импульсов с априори известными интенсивностями имеем

$$\hat{\theta} = \arg \sup L_0(\theta), \quad (19)$$

где

$$L_0(\theta) = L(\theta, a_{0k}). \quad (20)$$

Для определения характеристик ОМП (19) представим (20) в виде суммы сигнальной и шумовой функций [4]

$$L_0(\theta) = S_0(\theta) + N_0(\theta) + \mu \sum_{k=0}^{N-1} [\ln(1 + q_k) - q_k],$$

$$S_0(\theta) = \mu \sum_{k=0}^{N-1} q_k \ln(1 + q_k) S_k(\theta, \theta_0). \quad (21)$$

Шумовая функция

$$N_0(\theta) = L_0(\theta) - M\{L_0(\theta)\} = \sum_{k=0}^{N-1} \ln(1 + q_k) N_k(\theta) \sqrt{\mu}$$

является реализацией случайного процесса, причем

$$M\{N_0(\theta)\} = 0, B_0(\theta_1, \theta_2) = M\{N_0(\theta_1) N_0(\theta_2)\} =$$

$$= \mu \sum_{k=0}^{N-1} [\ln(1 + q_k)]^2 B_k(\theta_1, \theta_2), \quad (22)$$

где  $B_k(\theta_1, \theta_2)$  определяется из (6).

Сигнальная функция (21) достигает максимума при  $\theta = \theta_0$ , так что выходное ОСШ для всей последовательности (1) будет равно [4]

$$z^2 = S_0^2(\theta_0) / B_0(\theta_0, \theta_0) = \mu \left[ \sum_{k=0}^{N-1} q_k \ln(1 + q_k) \right]^2 \times \\ \times \left\{ \sum_{k=0}^{N-1} (1 + q_k) [\ln(1 + q_k)]^2 \right\}^{-1}. \quad (23)$$

Полагаем, что ОСШ (23) достаточно велико, так что ОМП (19) обладает высокой апостериорной точностью [4]. Тогда при выполнении (12), центральные пики функций (21), (22) можно описать соответственно формулами (13) и (14), где следует вместо (15) положить

$$A_S = \mu \sum_{k=0}^{N-1} q_k \ln(1 + q_k), \quad B_S = \nu \sum_{k=0}^{N-1} k q_k \ln(1 + q_k), \\ A_N = \mu \sum_{k=0}^{N-1} (1 + q_k) [\ln(1 + q_k)]^2, \\ B_N = \nu \sum_{k=0}^{N-1} k [\ln(1 + q_k)]^2, \\ C_N = \nu \sum_{k=0}^{N-1} k q_k [\ln(1 + q_k)]^2. \quad (24)$$

Подставляя (24) в (16), получаем дисперсию ОМП (19) периода следования оптических импульсов с априори известной интенсивностью

$$D_0(\theta) = M \{(\hat{\theta} - \theta_0)^2\} = 26 \left\{ \sum_{k=0}^{N-1} k(2 + q_k) [\ln(1 + q_k)]^2 \right\}^2 \times \\ \times \left[ 2 \sum_{k=0}^{N-1} k q_k \ln(1 + q_k) \sqrt{\nu} \right]^{-4}. \quad (25)$$

Сравнивая (17) и (25), находим проигрыш в точности КПО (3) периода следования оптических импульсов из-за незнания их интенсивности

$$\chi_q = \frac{D_q(\theta)}{D_0(\theta)} =$$

$$= \left\{ \frac{\sum_{k=0}^{N-1} k(2+q_k)}{\sum_{k=0}^{N-1} k(2+q_k) [\ln(1+q_k)]^2} \left[ \frac{\sum_{k=0}^{N-1} k q_k \ln(1+q_k)}{\sum_{k=0}^{N-1} k q_k} \right]^2 \right\}^2 \quad (26)$$

Очевидно, когда интенсивности всех оптических импульсов одинаковы, КПО (3) совпадает с ОМП (19) и  $\chi_q = 1$ . Если, при достаточно больших ОСШ (11) и (23), интенсивность каждого импульса последовательности мала, т. е.

$$q_k \ll 1, \quad k = \overline{0, N-1}, \quad (27)$$

то (26) принимает вид:  $\chi_q = \left[ \frac{\left( \sum_{k=0}^{N-1} k \right) \left( \sum_{k=0}^{N-1} k q_k^2 \right)}{\left( \sum_{k=0}^{N-1} k q_k \right)^2} \right]^2$ . Воспользовавшись неравенством Буняковского—Коши, получаем, что  $\chi_1 \geq 1$ , т. е. в общем случае точность КПО (3) уступает точности ОМП (19) периода следования импульсов с известной интенсивностью.

Повысить точность измерения периода следования импульсов с неизвестной интенсивностью можно, реализуя совместную ОМП всех неизвестных параметров последовательности [4]. Заменяем с этой целью в (18) неизвестные интенсивности  $a_k$  отдельных импульсов последовательности на их ОМП. Решая систему уравнений максимального правдоподобия:  $[\partial L(\theta, a_k) / \partial a_k] \hat{a}_k = 0, \quad k = \overline{0, N-1}$ , находим ОМП неизвестных интенсивностей импульсов последовательности

$$\hat{a}_k = \pi_k(\theta) / \tau - \nu. \quad (28)$$

Подставляя (28) в (18), имеем

$$L_a(\theta) = \max_{a_k} L(\theta, a_k) = L(\theta, \hat{a}_k) = \sum_{k=0}^{N-1} \pi_k(\theta) \{ \ln [\pi_k(\theta) / \mu] - 1 \} + N\mu. \quad (29)$$

В результате ОМП  $\hat{\theta}_a$  периода следования импульсов  $\theta_0$  с неизвестной интенсивностью представляет собой положение абсолютного максимума функции (29)

$$\hat{\theta}_a = \arg \sup L_a(\theta). \quad (30)$$

Подставляя в (29) значение  $\pi_k(\theta)$  из (4) для нормированного логарифма ФОП, имеем

$$L_a(\theta) / \mu = \sum_{k=0}^{N-1} [1 + q_k S_k(\theta, \theta_0) + \varepsilon N_k(\theta)] \times \\ \times \{ \ln [1 + q_k S_k(\theta, \theta_0) + \varepsilon N_k(\theta)] - 1 \} + N, \quad (31)$$

где  $\varepsilon = 1 / \sqrt{\mu}$ . При достаточно больших значениях  $\mu$  параметр  $\varepsilon \ll 1$ . Разложим (31) в ряд Маклорена по  $\varepsilon$  до первого члена, зависящего от реализации наблюдаемых данных. В результате получим

$$L_a \approx S_a(\theta) + N_a(\theta), \quad (32)$$

$$S_a(\theta) = \mu \sum_{k=0}^{N-1} \varphi_k(\theta, \theta_0) [\ln \varphi_k(\theta, \theta_0) - 1], \quad (33)$$

$$N_a(\theta) = \sum_{k=0}^{N-1} N_k(\theta) \ln \varphi_k(\theta, \theta_0) \sqrt{\mu},$$

$$\varphi_k(\theta, \theta_0) = 1 + q_k S_k(\theta, \theta_0).$$

Шумовая функция  $N_a(\theta)$  в (32) является реализацией случайного процесса, для которого

$$M \{N_a(\theta)\} = 0, B_a(\theta_1, \theta_2) = M \{N_a(\theta_1) N_a(\theta_2)\} = \\ = \mu \sum_{k=0}^{N-1} B_k(\theta_1, \theta_2) \ln \varphi_k(\theta_1, \theta_0) \ln \varphi_k(\theta_2, \theta_0), \quad (34)$$

где  $B_k(\theta_1, \theta_2)$  определяется из (6).

Сигнальная функция (33) в (32) достигает максимума при  $\theta = \theta_0$ , так что выходное ОСШ для всей последовательности (1) будет равно [4]

$$z_a^2 = S_a^2(\theta_0) / B_a(\theta_0, \theta_0) =$$

$$= \mu \left\{ \sum_{k=0}^{N-1} (1 + q_k) [\ln(1 + q_k) - 1] \right\}^2 / \sum_{k=0}^{N-1} (1 + q_k) [\ln(1 + q_k)]^2. \quad (35)$$

Считаем, что ОСШ (35) достаточно велико, так что ОМП (30) обладает высокой апостериорной точностью [4]. Тогда для расчета характеристик ОМП (30) достаточно исследовать поведение  $L_a(\theta)$  (32) в малой окрестности  $\theta_0$ . Полагая, что в (12)  $\Delta \rightarrow 0$ , разложим (33) и (34) в ряд по степеням

$\Delta$ . Отбрасывая члены разложения порядка малости  $\Delta^2$  и менее, получаем для (33) и (34) асимптотические разложения в виде (13) и (14) соответственно. Эти формулы описывают (33) и (34) с точностью до членов порядка малости  $o(\Delta)$ , и в них следует вместо (15) положить

$$A_S = \mu \sum_{k=0}^{N-1} (1 + q_k) [\ln(1 + q_k) - 1],$$

$$B_S = \nu \sum_{k=0}^{N-1} k \ln(1 + q_k)$$

$$A_N = \mu \sum_{k=0}^{N-1} (1 + q_k) [\ln(1 + q_k)]^2,$$

$$B_N = \nu \sum_{k=0}^{N-1} k \ln(1 + q_k) [\ln(1 + q_k) - 1],$$

$$C_N = \nu \sum_{k=0}^{N-1} k \ln(1 + q_k) [2 + q_k \ln(1 + q_k)]. \quad (36)$$

Подставляя (36) в (16), получаем дисперсию ОМП (30) периода следования оптических импульсов с априори неизвестной интенсивностью

$$D_a(\theta) = M \{(\hat{\theta}_a - \theta_0)^2\} = D_0(\theta), \quad (37)$$

где  $D_0(\theta)$  определяется из (25). Согласно (37) при  $\mu \gg 1$  дисперсия ОМП периода следования оптических импульсов с априори известной интенсивностью (19) совпадает с дисперсией ОМП периода следования импульсов с априори неизвестной интенсивностью (30). Следовательно, незнание интенсивности импульсов не влияет на дисперсию ОМП периода следования в условиях высокой апостериорной точности. Незнание интенсивности приводит лишь к необходимости использовать более сложный с точки зрения аппаратной реализации, алгоритм оценки (29), (30) вместо более простого (18), (19).

Структура ОМП периода следования оптических импульсов с неизвестной интенсивностью (29), (30) можно несколько упростить в практически важном случае слабых оптических импульсов, когда выполняется (27). При  $a_k \ll \nu$  приближенно представим (18) как

$$L(\theta, a_k) \approx L_S(\theta, a_k) = \sum_{k=0}^{N-1} a_k [\pi_k(\theta) - \mu] / \nu. \quad (38)$$

Заменив в (38) неизвестные интенсивности импульсов  $a_k$  на их ОМП (28), получаем функцию

$$L_S(\theta) = L_S(\theta, \hat{a}_k) = \sum_{k=0}^{N-1} [\pi_k(\theta) - \mu]^2 / \mu. \quad (39)$$

Оценку  $\hat{\theta}_S$  периода следования  $\theta_0$  слабых оптических сигналов определим как положение абсолютного максимума функции (39)

$$\hat{\theta}_S = \arg \sup L_S(\theta). \quad (40)$$

В отличие от ОМП (30) для реализации оценки (40) достаточно использовать в (39) более простой квадратичный преобразователь вместо логарифмического в (29).

Чтобы определить дисперсию оценки (40), представим (39) в виде суммы сигнальной и шумовой функций [4]

$$L_S(\theta) = S_S(\theta) + N_S(\theta) + \sum_{k=0}^{N-1} (1 + q_k), \quad (41)$$

$$S_S(\theta) = \mu \sum_{k=0}^{N-1} q_k^2 S_k^2(\theta, \theta_0), \quad (42)$$

$$N_S(\theta) = L_S(\theta) - M\{L_S(\theta)\} = \sum_{k=0}^{N-1} [2 q_k S_k(\theta, \theta_0) N_k(\theta) \sqrt{\mu} + N_k^2(\theta) - (1 + q_k)]. \quad (43)$$

Шумовая функция (43) является реализацией случайного процесса, причём  $M\{N_S(\theta)\} = 0$ ,

$$B_S(\theta_1, \theta_2) = M\{N_S(\theta_1) N_S(\theta_2)\} = 2 \sum_{k=0}^{N-1} B_k(\theta_1, \theta_2) \times \\ \times [2 q_k^2 S_k(\theta_1, \theta_0) S_k(\theta_2, \theta_0) + B_k(\theta_1, \theta_2)], \quad (44)$$

где  $S_k(\theta_1, \theta_2)$  определяется из (5), а  $B_k(\theta_1, \theta_2)$  — из (6).

Сигнальная функция (42) в (41) достигает максимума при  $\theta = \theta_0$ , так что выходное ОСШ будет равно [4]

$$z_S^2 = S_S^2(\theta_0) / B_S(\theta_0, \theta_0) = \mu^2 \left( \sum_{k=0}^{N-1} q_k^2 \right)^2 \times$$

$$\times \left[ 2 \sum_{k=0}^{N-1} (1 + q_k)^2 (1 + 4\mu q_k^2) \right]^{-1}. \quad (45)$$

Считаем, что ОСШ (45) достаточно велико, так что оценка (40) обладает высокой апостериорной точностью. Тогда для определения дисперсии оценки (40) достаточно исследовать поведение  $L_S(\theta)$  (39) в малой окрестности  $\theta_0$ . Полагая, что в (12)  $\Delta \rightarrow 0$  разложим (42), (44) в ряд по степеням  $\Delta$ . Отбрасывая члены разложения, порядка малости  $\Delta^2$  и менее, получаем для (42) и (44) асимптотические разложения в виде (13) и (14) соответственно. Эти формулы описывают (42) и (44) с точностью до членов порядка малости  $o(\Delta)$  и в них вместо (15) следует положить

$$\begin{aligned} A_S &= \mu \sum_{k=0}^{N-1} q_k^2, \quad B_S = 2\nu \sum_{k=0}^{N-1} k q_k^2, \\ A_N &= 2 \sum_{k=0}^{N-1} (1 + q_k)^2 (1 + 4\mu q_k^2), \\ B_N &= 4 \sum_{k=0}^{N-1} k (1 + q_k - \mu q_k^3) / \tau, \\ C_N &= 4 \sum_{k=0}^{N-1} k q_k [1 + q_k + \mu q_k (2 + 3q_k)] / \tau. \end{aligned} \quad (46)$$

Подставляя (46) в (16), получаем дисперсию оценки (40) периода следования слабых оптических импульсов с неизвестной интенсивностью

$$\begin{aligned} D_S(\theta) &= M \{(\hat{\theta}_S - \theta_0)^2\} = \\ &= 26 \left\{ \sum_{k=0}^{N-1} k [2 + 3q_k + q_k^2 + \mu q_k^2 (2 + q_k)] \right\}^2 \times \\ &\quad \times \left\{ 2 \sum_{k=0}^{N-1} k q_k^2 \sqrt{\mu \nu} \right\}^{-4}. \end{aligned} \quad (47)$$

Сравнивая (25) и (47), находим проигрыш в точности оценки (40) периода следования по сравнению с ОМП (19)

$$\chi_S = \frac{D_S(\theta)}{D_0(\theta)} =$$

$$= \left[ \frac{\sum_{k=0}^{N-1} k [2 + 3 q_k + q_k^2 + \mu q_k^2 (2 + q_k)]}{\mu \sum_{k=0}^{N-1} k (2 + q_k) [\ln(1 + q_k)]^2} \left| \frac{\sum_{k=0}^{N-1} k q_k \ln(1 + q_k)}{\sum_{k=0}^{N-1} k q_k^2} \right| \right]^2 \quad (48)$$

Если выполняется (27) и одновременно  $\mu q_k^2 \gg 1$ , то из (48) имеем  $\chi_S \approx 1$ . Следовательно, в этом случае проигрыш в точности оценки (40) по сравнению с ОМП (19), (30) отсутствует.

Таким образом, полученные результаты позволяют сделать обоснованный выбор между алгоритмами (3), (30), (40) оценки периода следования оптических импульсов с неизвестной интенсивностью в зависимости от требований, предъявляемых к точности оценки и степени простоты технической реализации алгоритма. Приведенные результаты получены при финансовой поддержке Российского фонда фундаментальных исследований.

#### БИБЛИОГРАФИЧЕСКИЙ СПИСОК

1. Воробьев В. И. Оптическая локация для радионинженеров. — М.: Радио и связь, 1983. — 176 с.
2. Гольярд Р. М., Карп Ш. Оптическая связь. — М.: Связь, 1978. — 424 с.
3. Большаков И. А., Ракошиц В. С. Прикладная теория случайных потоков. — М.: Сов. радио, 1978. — 248 с.
4. Куликов Е. И., Трифонов А. П. Оценка параметров сигналов на фоне помех. — М.: Сов. радио, 1978. — 296 с.
5. Трифонов А. П., Шинаков Ю. С. Совместное различение сигналов и оценка их параметров на фоне помех. — М.: Радио и связь, 1986. — 264 с.

Воронежский госуниверситет.

Поступила в редакцию 26.04.95.